

# **Modelos de Difusión para la Creación de Patrones de Falda de Mujer**

## **Combinando Características de Distintos Diseños**

### **Autor**

Sandra Villca Señoranis  
sandra.villca.dev@gmail.com

### **Institución**

Universidad Mayor, Real y Pontificia de San Francisco Xavier de Chuquisaca

### **Resumen**

La creación de patrones de costura representa un aspecto fundamental pero complejo en el diseño de moda, conectando diseños 2D con la implementación técnica de prendas 3D. Este estudio presenta una metodología innovadora basada en modelos de difusión para la generación automatizada de patrones de faldas de mujer, combinando características de distintos diseños mientras se preservan las proporciones anatómicas esenciales.

Se construyó un conjunto de datos específico compuesto por más de 20,000 imágenes de patrones digitales en formato vectorial, abarcando diez tipos de faldas: recta, con volante, asimétricas, con bolsillo, medio circular, sirena, con canesú y de seis recortes. Los patrones se desarrollaron siguiendo estándares de confección bolivianos para talla M, manteniendo constantes las medidas críticas de contorno de cintura (39 cm) y cadera (50 cm).

La metodología implementó un modelo de Difusión Denoising Probabilística (DDPM) con arquitectura U-Net2D y DDPM Scheduler, entrenado en dos fases estratégicas. La primera fase evaluó modelos individuales por diseño específico, mientras la segunda combinó diseños compatibles en modelos únicos. El entrenamiento se realizó durante 15 épocas utilizando GPU Tesla T4, con un tiempo total de aproximadamente 3.5 horas para modelos con combinación de diseños.

Los resultados demuestran la viabilidad técnica del enfoque propuesto. Los modelos combinados alcanzaron una precisión promedio del 98.7% para medidas de contorno de cintura y 96.9% para contorno de cadera, generando patrones con siluetas y bordes bien definidos. Los modelos combinados superaron significativamente el rendimiento de los modelos individuales, aunque estos últimos resultan útiles para diseños complejos de múltiples paneles.

### **Palabras clave**

Patrones de falda, modelos de difusión, diseño de moda.

## I. Introducción

El diseño de moda ha adoptado cada vez más las tecnologías digitales, con el desarrollo de herramientas computacionales las mismas que facilitan diversos aspectos en la creación de prendas. Entre ellas, la generación de patrones de costura representa un aspecto importante, pero complejo ya que conecta el diseño de moda con la implementación técnica. Los patrones de costura son la base fundamental para la confección de prendas, convirtiendo diseños 2D en prendas 3D usables (Korosteleva y Lee, 2022).

La creación de patrones de costura a partir de imágenes 2D presenta importantes desafíos en el campo de la visión artificial y el diseño computacional. Si bien los recientes avances en aprendizaje profundo han permitido un progreso notable en las transformaciones de 2D a 3D, su aplicación específica a la generación de patrones de prendas implica restricciones específicas relacionadas con las propiedades de los materiales, los requisitos de fabricación y las consideraciones anatómicas (Liu et al., 2024). En el caso específico de las faldas, la transformación debe considerar las diversas siluetas, los tratamientos de los dobladillos, la construcción de las cinturillas y otros elementos de diseño que afectan a las piezas finales del patrón.

Los enfoques actuales para la generación de patrones de costura abarcan diversas metodologías. NeuralTailor, de Korosteleva y Lee (2022), introdujo un marco basado en redes neuronales profundas que recupera la representación estructurada de patrones de costura de prendas a partir de nubes de puntos 3D, demostrando una reconstrucción exitosa para diversos diseños de prendas. Su enfoque separa la forma intrínseca de la prenda de las deformaciones físicas, proporcionando una representación compacta pero expresiva que se generaliza a diferentes tipos de prendas.

Partiendo de esta base, Chen et al. (2024) desarrollaron Panelformer, un novedoso enfoque basado en transformadores para reconstruir patrones de costura directamente a partir de imágenes 2D de prendas. Su método aborda el desafío de la oclusión en imágenes 2D aprovechando la naturaleza simétrica y correlacionada de los paneles de las prendas. Esta innovación permite la reconstrucción de patrones completos, incluyendo paneles ocluidos, mediante el aprendizaje de los componentes visibles. Sin embargo, si bien Panelformer muestra resultados prometedores para diversas prendas, su aplicación específica en faldas merece mayor exploración.

Más recientemente, SewingLDM, de Liu et al. (2024), introdujo un modelo de difusión latente multimodal para generar patrones de costura complejos. Su enfoque amplía las representaciones de patrones para abarcar elementos de diseño complicados y los comprime en un espacio latente compacto para un modelado eficiente. A diferencia de trabajos anteriores que presentaban dificultades con características complejas de patrones, SewingLDM genera patrones de forma eficaz con elementos de diseño detallados como frunces y pinzas, especialmente relevantes para la generación de patrones de prendas.

A pesar de estos avances, convertir imágenes de faldas 2D directamente en patrones de costura listos para producción sigue siendo un desafío. Como señala Lehtiniemi (2021), si bien los modelos generativos pueden crear patrones de costura, los patrones resultantes a menudo carecen de siluetas claras o presentan problemas que los hacen inoperantes para la producción real de prendas. Esto resalta la necesidad de modelos diseñados específicamente para abordar los requisitos únicos de la generación de patrones de prendas de vestir.

En el presente proyecto se propone la generación de patrones de faldas para mujer que no solo conserven la funcionalidad y adaptabilidad anatómica, sino que también sean escalables a distintas tallas y medidas. El objetivo principal es aprovechar el potencial de los modelos de difusión para crear patrones de faldas que combinen características de diferentes diseños, manteniendo la coherencia estructural y la adecuación a la anatomía femenina. Durante el entrenamiento del modelo de difusión, se amplía la representación de patrones de faldas incorporando una variedad de elementos de diseño, especialmente en los tratamientos del dobladillo. La representación contempla variaciones en el diseño del dobladillo, el ancho del dobladillo, el largo de la falda, así como la inclusión de detalles adicionales como bolsillos, canesú y otros componentes decorativos o funcionales que enriquecen el diseño final.

Paralelamente, se busca entrenar un modelo de difusión capaz de generar diseños específicos de faldas, con el objetivo de facilitar la visualización y comprensión de los patrones generados. Este enfoque permitirá representar de forma clara cómo se traduce un diseño individual en un patrón de costura, brindando una herramienta útil tanto para el análisis como para la creación de nuevas propuestas de diseño.

## **II. Metodología**

### **Diseño del estudio**

La investigación se llevó a cabo en Sucre, Bolivia, utilizando la plataforma Google Colab con GPU Tesla T4 y un entorno de desarrollo Python para el entrenamiento y validación de modelos de difusión.

Se empleó una metodología de investigación aplicada con enfoque iterativo, estructurada en cuatro etapas principales: construcción del conjunto de datos, entrenamiento de modelos de difusión, generación de patrones y validación cuantitativa. Este enfoque permitió iterar entre la teoría y práctica con el objetivo de diseñar, implementar y validar patrones de faldas generados automáticamente, asegurando su funcionalidad para la talla M.

### **Conjunto de Datos de Patrones de Faldas**

Para entrenar y validar el modelo de difusión propuesto, se construyó un conjunto de datos específico de patrones de faldas, siguiendo una estrategia de recolección detallista y orientada al diseño de modas. En primer lugar, se realizó un análisis detallado de distintos

estilos de faldas con el fin de identificar sus características estructurales y estéticas. Los tipos de faldas seleccionados para este estudio incluyen: falda recta, falda con volante en el dobladillo, faldas rectas asimétricas (izquierda y derecha), falda con bolsillo, falda medio circular, falda sirena, falda con canesú (recto y en pico) y falda de seis recortes. Esta selección abarca una amplia representación en cuanto a siluetas, detalles y construcciones comunes en el diseño de faldas de mujer.

Posteriormente, se procedió a la creación de patrones digitales en formato vectorial (.svg) para cada diseño, utilizando una base de medidas correspondientes a la talla M, conforme a los estándares establecidos por el Ministerio de Educación Bolivia (2014) en el área de Confección Textil. Los patrones fueron trazados sobre un plano cartesiano (ejes x-y), cuidando la precisión de las dimensiones clave como el contorno de cintura y el contorno de cadera. Cada imagen en formato vectorial tiene una dimensión de 67.8 x 101.6 milímetros que corresponde a 256 x 384 pixeles en formato png.

Para asegurar una diversidad suficiente de datos durante el entrenamiento, se generaron múltiples variaciones de cada patrón base. Estas variaciones incluyeron modificaciones en el largo de la falda, el ancho y la forma del dobladillo, la forma del canesú, así como variaciones menores en el color de los archivos .svg. A pesar de estos cambios, se conservaron las proporciones anatómicas esenciales, manteniendo fijos los valores de cintura y cadera. Como resultado, se construyó un conjunto de datos compuesto por miles de imágenes por tipo de falda, destacando: 1755 imágenes para la falda recta, 1904 para la falda con volante, 1755 para la asimétrica izquierda, 1754 para la asimétrica derecha, 1767 con bolsillo, 1638 para la medio circular, 1674 sirena, 3536 canesú recto, 3536 canesú en pico y 1785 para la falda de seis recortes. Este corpus constituye la base para el entrenamiento del modelo generativo, asegurando variedad y representatividad en los datos.

Un resumen del conjunto de datos utilizado se encuentra en el Apéndice A.

## **Modelo de Difusión y Arquitectura del Modelo**

Al inicio del proyecto, se intentó configurar el entrenamiento de un modelo de difusión desde cero. Sin embargo, los requerimientos computacionales resultaron ser muy elevados, especialmente en cuanto a uso de memoria y GPU, lo que dificultó la viabilidad de esta estrategia en el entorno disponible. Por ello, se optó por utilizar un modelo preentrenado que ofreciera características adecuadas para el propósito específico del proyecto.

Para la generación de patrones de faldas, se utilizó un modelo preentrenado basado en el enfoque de Difusión Denoising Probabilística (DDPM), apoyado por el programador de pasos de difusión DDPM Scheduler, tal como fue propuesto por Ho et al. (2020). Este modelo permite un control detallado sobre el proceso de generación mediante la adición y eliminación gradual de ruido gaussiano, utilizando una cadena de Markov que garantiza transiciones suaves entre cada paso del proceso.

El DDPM Scheduler gestiona tanto el proceso hacia adelante (donde se introduce ruido de manera progresiva a las imágenes de entrenamiento) como el proceso inverso (denoising), donde el modelo aprende a recuperar las muestras originales a partir de datos ruidosos. Este enfoque ha demostrado ser especialmente efectivo para generar patrones de faldas con estructuras simples o moderadas, es decir, aquellos que no incluyen una gran cantidad de paneles ni detalles muy complejos, como ocurre en las faldas rectas, asimétricas, medio circular o con canesú.

Se configuró el scheduler con 1000 pasos de entrenamiento (num\_train\_timesteps=1000) y una estrategia de ruido lineal (beta\_schedule="linear"), con valores de inicio y fin (beta\_start=0.0001, beta\_end=0.02) que distribuyen el ruido de forma uniforme a lo largo del proceso. Esta configuración resulta adecuada para la calidad de las muestras generadas.

Durante la inferencia, el número de pasos (num\_inference\_steps) puede ajustarse según el nivel de calidad deseado. Además, el modelo incorpora ruido estocástico en cada iteración, lo que contribuye a la diversidad y originalidad de los patrones generados.

La integración con arquitecturas como U-Net permite que el modelo prediga de forma eficiente el ruido en cada paso, facilitando una reconstrucción precisa del patrón original. En conjunto, estas características han demostrado un buen rendimiento para el caso específico de patrones de faldas con un número limitado de paneles, generando patrones funcionales y con las proporciones anatómicas y las formas típicas de los diseños de faldas.

Para validar la correcta generación de patrones de faldas y evaluar la precisión del modelo entrenado, se implementó un protocolo de medición cuantitativa de las dimensiones críticas en los patrones generados. Específicamente, se midieron las dimensiones de contorno de cintura y contorno de cadera en los patrones creados por el modelo de difusión, utilizando un editor de gráficos vectoriales para garantizar la precisión de las mediciones.

Estas medidas se consideran fundamentales en la confección de faldas, ya que determinan el ajuste anatómico y la funcionalidad de la prenda final. Durante la construcción del conjunto de datos de entrenamiento, estos valores se mantuvieron constantes para todos los diseños, estableciendo así un estándar de referencia basado en las medidas de la talla M (Ministerio de Educación Bolivia, 2014).

La evaluación cuantitativa se realizó mediante la comparación directa entre las dimensiones de los patrones generados y los valores de referencia establecidos en el conjunto de datos original. Este enfoque permite calcular métricas de precisión que reflejan la capacidad del modelo para preservar las proporciones anatómicas esenciales durante el proceso generativo, validando así la funcionalidad y aplicabilidad práctica de los patrones de faldas producidos por el sistema propuesto.

## Entrenamiento de Modelos de Difusión

El entrenamiento se implementó en dos fases estratégicas. En la primera fase, se entrenó un modelo individual para cada diseño específico de falda con el objetivo de evaluar la capacidad de los modelos de difusión para generar patrones de un diseño particular. Esta

aproximación se justifica por la gran variedad de diseños existentes para faldas y porque en algunos casos no es posible combinar todos los diseños en un único modelo de entrenamiento, considerando que las medidas clave de contorno de cintura y cadera deben mantenerse constantes para todos los diseños combinados.

En la segunda fase, se entrenaron dos modelos de difusión para la combinación de distintos diseños compatibles. El primer modelo combinó diseños de falda recta, asimétrica (izquierda y derecha) y falda con bolsillo, aprovechando la similitud estructural entre estos patrones. El segundo modelo integró faldas con canesú (recto y en punta) incluyendo variaciones en el dobladillo, agrupando diseños que comparten características constructivas similares.

El entrenamiento del modelo se optimizó mediante la redimensionación de las imágenes de patrones de 256 x 384 píxeles a 128 x 192 píxeles para reducir los requerimientos de memoria GPU, preservando la relación de aspecto y los detalles estructurales de los patrones.

La arquitectura del modelo se basó en una red U-Net2D configurada con tamaño de muestra de 192 x 128 píxeles, 3 canales RGB de entrada y salida, y 4 capas por bloque. Los bloques descendentes incluyen canales progresivos (64, 128, 256, 256) con configuración "DownBlock2D", "DownBlock2D", "AttnDownBlock2D" y "DownBlock2D", mientras que los ascendentes emplean "UpBlock2D", "AttnUpBlock2D", "UpBlock2D" y "UpBlock2D". Los bloques de atención permiten capturar dependencias espaciales necesarias para mantener la coherencia estructural de los patrones.

El DDPM Scheduler se configuró con 1000 pasos de entrenamiento y esquema de ruido lineal con predicción tipo "epsilon", donde el modelo aprende a predecir el ruido a remover en cada paso de denoising.

Para el entrenamiento, se utilizó el optimizador Adam con una tasa de aprendizaje de 1e-4.

El entrenamiento se ejecutó en la plataforma Google Colab utilizando una GPU Tesla T4 con 14.74 GB de memoria total. Los modelos se entrenaron durante 15 épocas con un tamaño de lote de 8. El tiempo total de entrenamiento, para modelos con combinación de distintos diseños, fue de aproximadamente tres horas y media para un conjunto de datos de 7,072 imágenes de patrones de faldas.

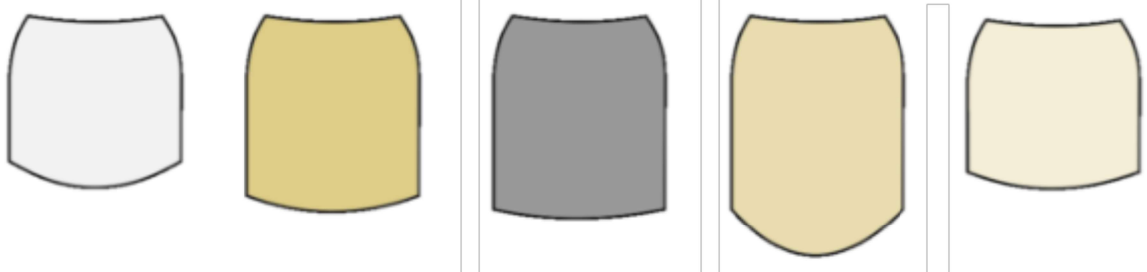
### **III. Resultados**

#### **Entrenamiento de un modelo individual para cada diseño**

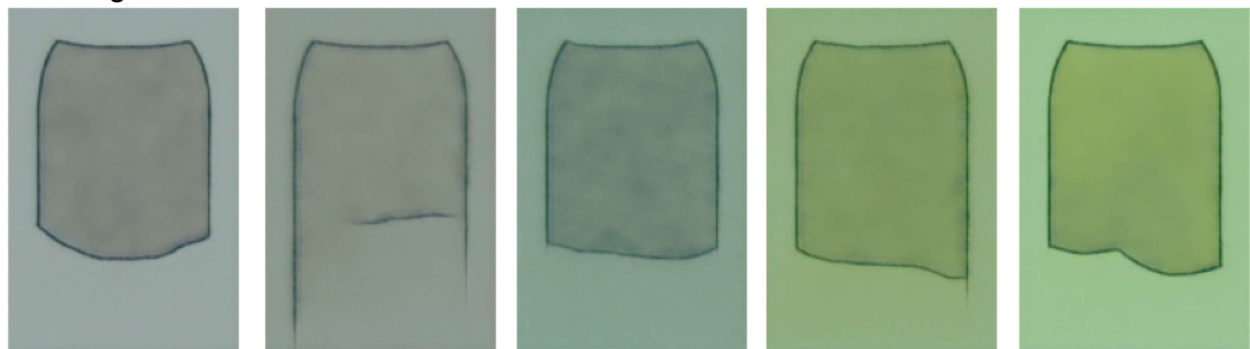
Los resultados del entrenamiento individual (Figuras 1 a 3) muestran que la complejidad del patrón influye directamente en la calidad de generación, donde los diseños más simples como la falda recta logran siluetas más definidas, mientras que patrones complejos como la falda medio circular presentan dificultades significativas para generar formas coherentes. Los principales problemas identificados incluyen desviaciones en contornos críticos como cintura, cadera y dobladillo, así como la fusión no deseada de paneles en diseños multicomponente, lo que compromete el ajuste anatómico.

## Falda recta

Patrones de entrenamiento:

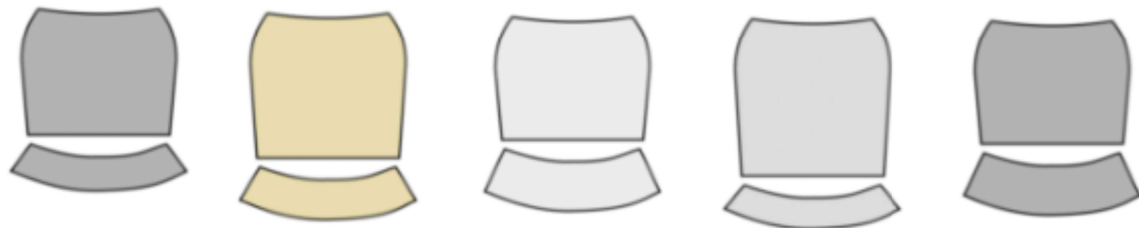


Patrones generados:



## Falda con volante en el dobladillo

Patrones de entrenamiento:



Patrones generados:

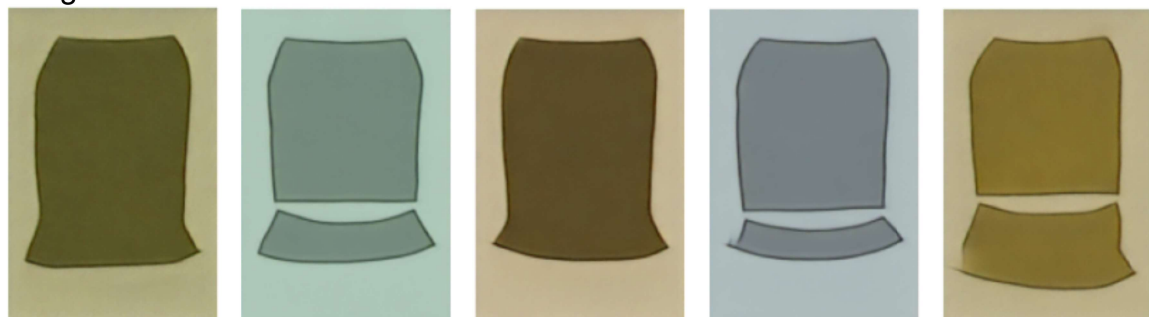
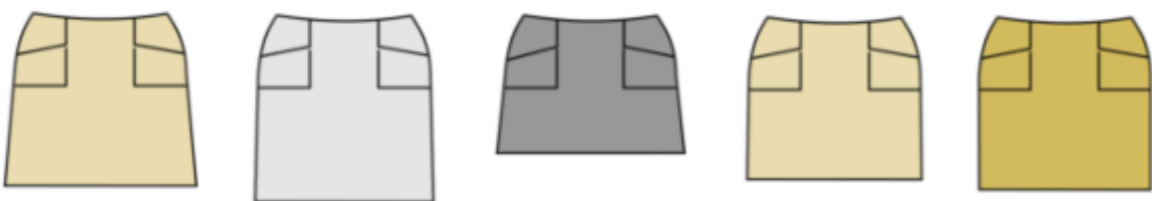


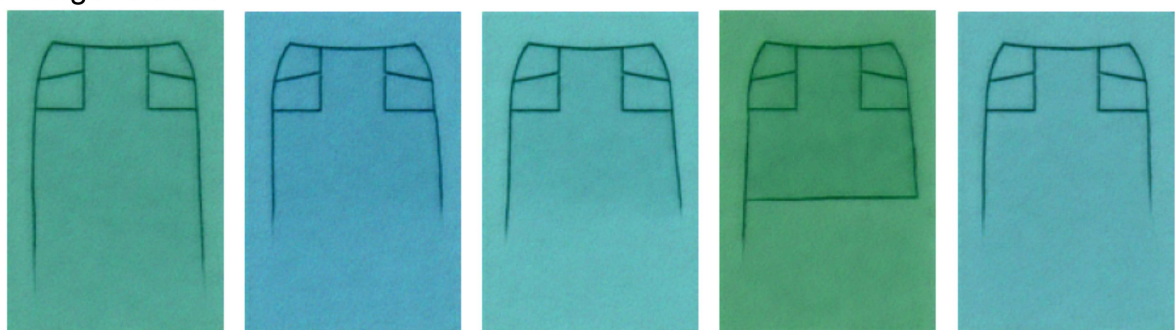
Figura 1: Resultados de entrenamiento falda recta y con volante

### Falda con bolsillo

Patrones de entrenamiento:



Patrones generados:



### Falda medio circular

Patrones de entrenamiento:



Patrones generadas:

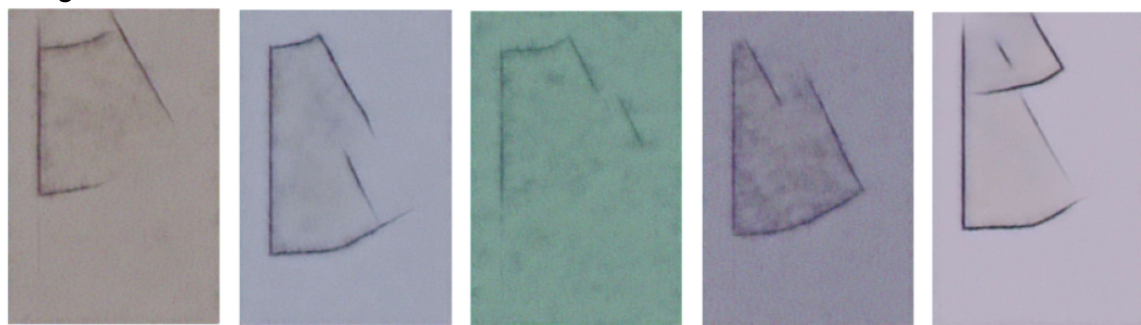
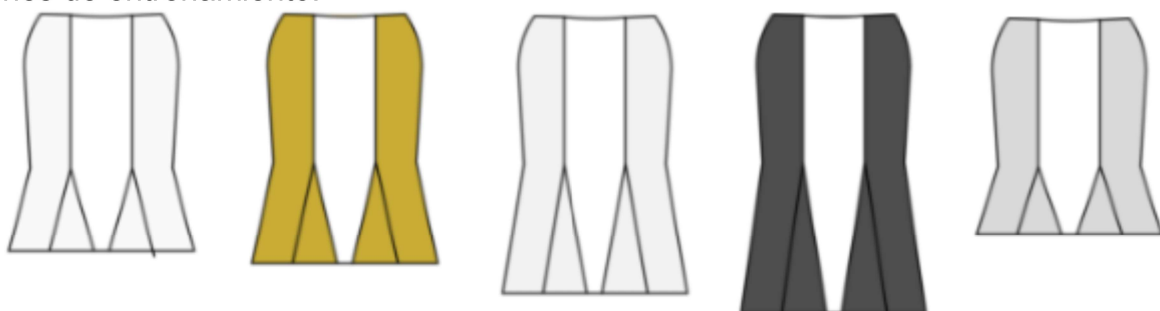


Figura 2: Resultados de entrenamiento falda con bolsillo y medio circular

### Falda sirena

#### Patrones de entrenamiento:



#### Patrones generados:

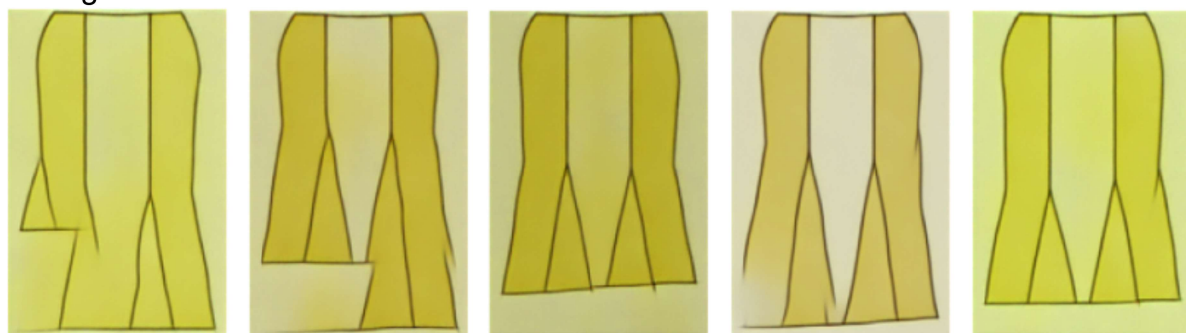


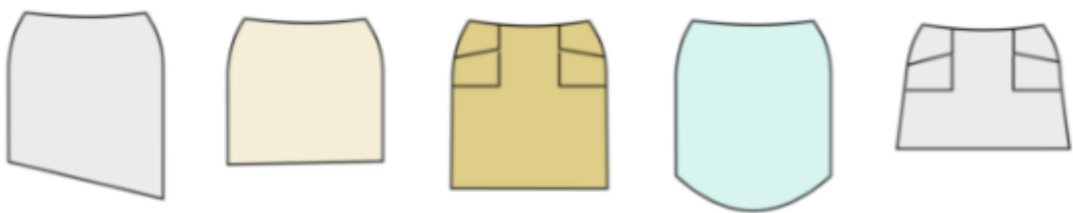
Figura 3: Resultados de entrenamiento falda sirena

### Entrenamiento de un modelo para la combinación de distintos diseños compatibles

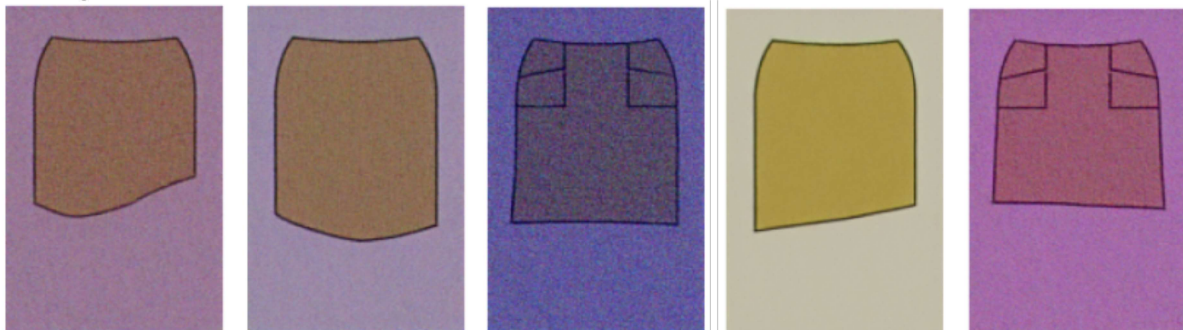
Los modelos combinados (Figura 4) que integran múltiples diseños compatibles demuestran un rendimiento superior al de los modelos individuales, generando patrones con bordes bien definidos en cintura y cadera, siluetas claras y dobladillos precisos que garantizan tanto el ajuste anatómico como la funcionalidad. La evaluación cuantitativa de la precisión (Tabla I) muestra una precisión promedio de 98.7% para el contorno de cintura y 96.9% para el contorno de cadera.

Varios diseños (falda recta, asimétrica izquierda y derecha, con bolsillo)

Patrones de entrenamiento

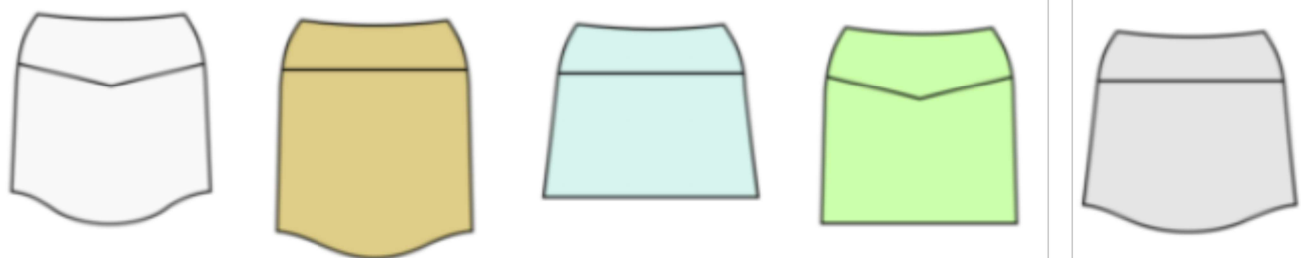


Patrones generados



Varios diseños (falda con canesú recto y en pico, con variaciones en el dobladillo)

Patrones de entrenamiento



Patrones generados

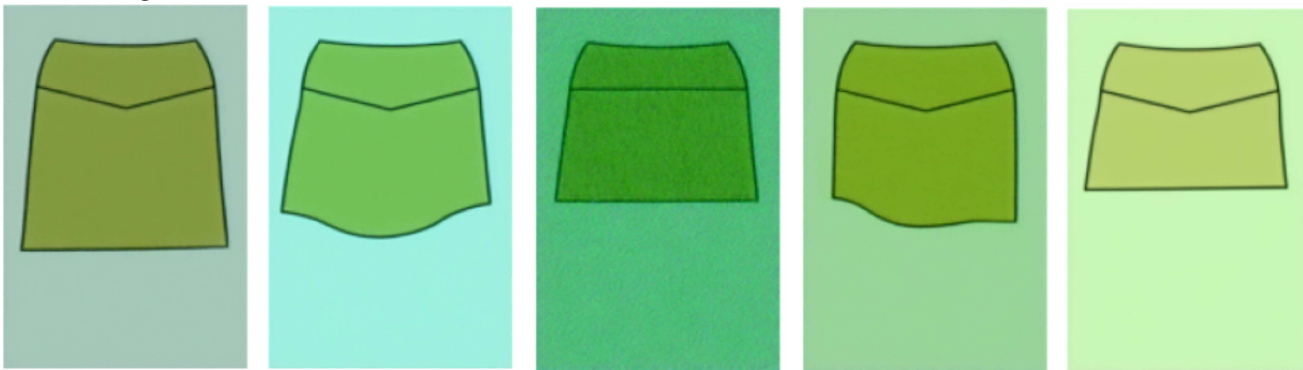


Figura 4: Resultados de entrenamiento para combinación de diseños

**Tabla I. Evaluación de la precisión**

Modelo	Patrón generado	Medidas patrones originales (cm)		Medidas patrones generados (cm)		Precisión Cintura (%)	Precisión Cadera(%)
		Cintura	Cadera	Cintura	Cadera		
Varios diseños: recta asimétrica con bolsillo	1	39	50	40.0	52.0	97.4	96.0
	2	39	50	39.5	52.5	98.7	95.0
	3	39	50	40.0	52.0	97.4	96.0
	4	39	50	40.0	52.7	97.4	94.6
	5	39	50	39.5	52.0	98.7	96.0
	6	39	50	40.0	51.0	97.4	98.0
Varios diseños: canesú recto canesú en pico variaciones dobladillo	7	39	50	39.0	51.0	100.0	98.0
	8	39	50	39.5	51.0	98.7	98.0
	9	39	50	39.5	51.5	98.7	97.0
	10	39	50	39.0	51.5	100.0	97.0
	11	39	50	38.5	51.5	98.7	97.0
	12	39	50	38.5	51.0	98.7	98.0
	13	39	50	38.7	51.3	99.2	97.4
	14	39	50	38.8	51.3	99.5	97.4
	15	39	50	40.0	51.2	97.4	97.6
	16	39	50	39.3	51.4	99.2	97.2
	17	39	50	38.8	51.5	99.5	97.0
	18	39	50	38.8	51.4	99.5	97.2
						Promedio:	98.7
							96.9

#### Reducción a una Talla S y escalado a una Talla L

Los patrones generados por los modelos (Talla M) pueden adaptarse a las Tallas S y L mediante técnicas de escalado de patrones manteniendo las proporciones anatómicas adecuadas. Posteriormente son escalados a tamaño real para su impresión e implementación práctica en la confección de faldas.

#### IV. Discusión

Los modelos de difusión propuestos demuestran un alto potencial para la generación automatizada de patrones de faldas, alcanzando una precisión promedio del 98.7% para contorno de cintura y 96.9% para contorno de cadera. Los patrones generados presentan siluetas y bordes bien definidos con variaciones atractivas en el dobladillo, confirmando la viabilidad técnica del enfoque para aplicaciones prácticas en confección.

Los modelos combinados superaron el rendimiento de los modelos individuales, aunque estos últimos pueden mejorarse significativamente con conjuntos de datos más amplios. Los

modelos individuales resultan especialmente útiles para diseños complejos de múltiples paneles o características asimétricas, donde la combinación de diseños diversos podría comprometer la coherencia estructural. Esta flexibilidad permite abordar la amplia diversidad creativa en el diseño de faldas.

Los resultados obtenidos contrastan favorablemente con estudios anteriores en generación de patrones de costura. Lehtiniemi (2023) en "Generative Models in Sewing Pattern Creation" reportó que tanto StyleGAN como VQ-VAE-2 fallaron en crear patrones utilizables: StyleGAN produjo copias casi exactas del dataset original sin originalidad, mientras que VQ-VAE-2 generó patrones únicos pero extraños e inutilizables que requerían interpretación para ser funcionales. En contraste, nuestros modelos de difusión logran una alta precisión técnica (98.7% en contorno de cintura, 96.9% en contorno de cadera) y diversidad creativa, generando patrones directamente utilizables con siluetas bien definidas y variaciones atractivas tanto en el largo de la falda como el ancho y forma del dobladillo.

Sin embargo, existen limitaciones importantes: el tiempo de inferencia de 95 segundos por patrón en GPU dificulta la generación masiva de patrones. También se requiere entrenar un modelo con un conjunto de datos y diseños más extensos y que incluyan elementos importantes del patronaje como las pinzas para una validación más amplia. Estas limitaciones establecen direcciones claras para futuras investigaciones en optimización computacional y expansión de datos de entrenamiento.

## V. Referencias bibliográficas

Afi Global Education (2023). DataTalks | Modelos de difusión ¿Cómo funcionan?  
Disponible en: <https://www.youtube.com/watch?v=ScIM8zMIQxY&list=PLYRTWym0vKrKssd6ib9yYzBZWFe6CcYRd&index=12>

Agencia de Noticias Fides (2016). Los bolivianos están entre los más petisos de la región.  
Disponible en: <https://noticiasfides.com/nacional/sociedad/los-bolivianos-estan-entre-los-mas-petisos-de-la-region-368463-368365#:~:text=En%20el%20caso%20de%20las%20mujeres%20bolivianas%20se%20encuentran%20en,43%20a%201%2C54%20cm.>

Andrespert (2024). Escalado de patrones: Qué es, para qué sirve y cómo hacerlo.  
Disponible en: <https://www.andrespert.com/escalado-patrones/>

AUDACES (2025). 10 dificultades de patronaje y tizada, y cómo resolverlas"  
Disponible en: <https://contenido.audaces.com/typ-ebook-dificultades-patronaje-y-tizada>

Centro de Educación Técnico Productiva Arzobispo Oscar Arnulfo Romero (2025). Manual de Corte y Confección.  
Disponible en: <https://es.scribd.com/document/332489627/Manual-de-Corte-y-Confeccion-yris>

Chen C., Su J., Hu M., Yao C., Chu H. (2024). Panelformer: Sewing Pattern Reconstruction from 2D Garment Images.

ExplainingAI (2023). Denoising Diffusion Probabilistic Models | DDPM Explained  
Disponible en: <https://www.youtube.com/watch?v=H45lF4sUgiE&list=LL&index=42&t=12s>

Fierro Madrid (2025). Los pasos de la confección textil.  
Disponible en: <https://fierromadrid.com/pasos-confeccion-textil/>

Goodfellow I.J., Pouget-Abadie J., Mirza M., Xu B., Warde-Farley D., Ozairz S., Courville A., Bengio Y. (2014). Generative Adversarial Nets.

Ho, J., Jain, A., & Abbeel, P. (2020). Denoising Diffusion Probabilistic Models. Advances in Neural Information Processing Systems (NeurIPS), 33, 6840-6851.

Korosteleva M., Lee S.H. (2022). NeuralTailor: Reconstructing Sewing Pattern Structures from 3D Point Clouds of Garments.

Lehtiniemi S. (2021). Generative Models in Sewing Pattern Creation.

Liu et al. (2024). Multimodal Latent Diffusion Model for Complex Sewing Pattern Generation

Medium (2023). Step by Step Visual Introduction to Diffusion Models  
Disponible en: <https://medium.com/@kemalpiro/step-by-step-visual-introduction-to-diffusion-models-235942d2f15c>

UDIT Universidad de Diseño, Innovación y Tecnología (2024). ¿Qué es el patronaje y qué tipos existen?

Disponible en: <https://udit.es/actualidad/que-es-el-patronaje-y-que-tipos-existen/>

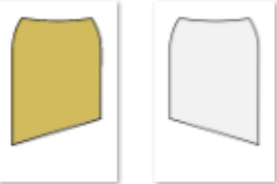
UNIFRANZ (2024). Moda: más que un estilo de vida, un motor económico en constante evolución.

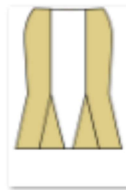
Disponible en: <https://unifranz.edu.bo/blog/moda-mas-que-un-estilo-de-vida-un-motor-economico-en-constante-evolucion/>

Wikipedia (2025). Moda  
Disponible en: <https://es.wikipedia.org/wiki/Moda>

## VI. Apéndice

### A. Conjunto de datos

Falda recta		<p>Descripción:</p> <ul style="list-style-type: none"><li>- Falda compuesta de un panel en la delantera y atrás.</li><li>- El panel es simétrico para la delantera y atrás.</li><li>- El conjunto de datos contiene 1755 imágenes.</li></ul>
Falda con volante en el dobladillo		<p>Descripción:</p> <ul style="list-style-type: none"><li>- Falda compuesta de dos paneles en la delantera y atrás.</li><li>- Los dos paneles son simétricos para la delantera y atrás</li><li>- El conjunto de datos contiene 1904 imágenes.</li></ul>
Faldas rectas asimétricas (izquierda y derecha)		<p>Descripción:</p> <ul style="list-style-type: none"><li>- Falda compuesta de un panel en la delantera y atrás.</li><li>- El panel es simétrico para la delantera y atrás.</li><li>- El conjunto de datos contiene 3509 imágenes.</li></ul>
Falda con bolsillo		<p>Descripción:</p> <ul style="list-style-type: none"><li>- Falda compuesta de un panel en la delantera y atrás.</li><li>- El panel de la delantera y el panel de atrás son diferentes.</li><li>- El conjunto de datos contiene 1767 imágenes.</li></ul>

Falda medio circular		Descripción: <ul style="list-style-type: none"><li>- Falda compuesta de un panel en la delantera y atrás.</li><li>- El panel es simétrico para la delantera y atrás.</li><li>- La creación del patrón se hizo para la mitad del panel debido al límite de las dimensiones de la imagen de entrenamiento.</li><li>- El conjunto de datos contiene 1638 imágenes.</li></ul>
Falda sirena		Descripción: <ul style="list-style-type: none"><li>- Falda compuesta de 3 paneles en la delantera y atrás.</li><li>- Los 3 paneles son simétricos para la delantera y atrás.</li><li>- El conjunto de datos contiene 1674 imágenes.</li></ul>
Falda con canesú (recto y en pico)		Descripción: <ul style="list-style-type: none"><li>- Falda compuesta de dos paneles en la delantera y atrás.</li><li>- Los dos paneles son simétricos para la delantera y atrás.</li><li>- El conjunto de datos contiene 7072 imágenes.</li></ul>
Falda de seis recortes		Descripción: <ul style="list-style-type: none"><li>- Falda compuesta de 4 paneles en la delantera y atrás.</li><li>- Los 4 paneles son simétricos para la delantera y atrás.</li><li>- El conjunto de datos contiene 1785 imágenes.</li></ul>

